

ГЕОХИМИЯ

УДК 551.21:213.3

ЭПР-ДАТИРОВАНИЕ ПО ПОРОДООБРАЗУЮЩЕМУ КВАРЦУ
ИЗВЕРЖЕНИЙ ВУЛКАНА ЭЛЬБРУС (СЕВЕРНЫЙ КАВКАЗ, РОССИЯ)

© 2002 г. Академик О. А. Богатиков, А. Г. Гурбанов,
Д. Г. Кощуг, В. М. Газеев, Р. В. Шабалин

Поступило 25.03.2002 г.

Геологическое строение, возраст и морфология вулкана Эльбрус ($43^{\circ}20'$ с.ш. и $42^{\circ}27'$ в. д., абсолютная высота 5642.6 м), расположенного на северном склоне Главного Кавказского хребта, изучаются со времени его посещения в 1852 г. Г. Абихом. За более чем вековую историю его изучения проблема определения возраста являлась одной из наиболее сложных и дискуссионных. На ранних этапах исследований время образования и эволюции вулкана оценивалось по геологическим данным, затем геоморфологическим методом [1, 2], а с конца прошлого столетия – калий-argonовым (K–Ar), радиоуглеродным (^{14}C) методами датирования. Наиболее полная схема эволюции Эльбруса разработана Н.В. Короновским [3], выделившим нижний, позднеплиоцен-раннеплейстоценовый, и верхний, средне-позднеплейстоцен-голоценовый комплексы. Применение геоморфологического метода без учета значительных по амплитуде вертикальных неотектонических перемещений [5] привело к резкому омоложению возрастов туфолов (игнимбритов), залегающих в основании разрезов в истоках рек Бийтик-Тебе и Кюкюртли и к последующему омоложению всех вышележащих вулканических толщ [1–4]. Позже Е.К. Станкевичем [6] в строении вулкана Эльбрус было выделено три вулканических комплекса, которые начали формироваться с самых верхов плиоцена, в течение плейстоцена и голоцена включительно, соответствствуя в целом эпохе прямой магнитной полярности Брюнеса (0–0.7 млн. лет). И.В. Чернышевым и др. по результатам K–Ar-датирования [7] сделан вывод о том, что формирование ранних пирокластических пород непосредственно не было связано с активностью Эльбруса и произошло

800–900 тыс. лет назад, а пики активности самого вулкана были в интервалах 225–160 тыс. лет назад и менее 80 тыс. лет назад.

Отметим, что все величины возрастов, полученные K–Ar-методом, дали удревненные (в неизвестном масштабе), с геологической и геоморфологической точек зрения, значения, а все применяемые методы датирования [6–9] имеют методические ограничения и как положительные, так и отрицательные стороны. Так, K–Ar-методом надежно определяется возраст до 250–300 тыс. лет, а ошибка при измерении возрастов моложе 100–70 тыс. лет достигает 45–85%. Радиоуглеродный метод (^{14}C) датирует события только до 50 тыс. лет. Следовательно, есть интервал продолжительностью в 200–250 тыс. лет, который не датируется указанными выше методами. Перекрыть его стало возможно с помощью метода ЭПР (спектроскопия электронного paramagnитного резонанса) по породообразующему кварцу, позволяющему датировать события от 3 млн. лет до 500 лет [10].

На данной стадии комплексных исследований в пределах Эльбруссского вулканического центра (ЭВЦ) нами выделены докальдерный, кальдерный и посткальдерный циклы, а в двух последних выделены ранние и поздние этапы. Методом ЭПР продатирована 31 проба кварца и ими охарактеризованы породы всех этапов и циклов развития ЭВЦ, кроме докальдерного. Места отбора и номера проб показаны на рис. 1, а результаты ЭПР-датирования приведены в табл. 1.

Докальдерный цикл вулканической активности в пределах ЭВЦ представлен останцами лавовых потоков андезибазальтового состава (верховья р. Тызыл), по которым мы пока не располагаем ЭПР-датировками.

Из анализа приведенных в табл. 1 данных следует, что формирование разреза раннего этапа кальдерного цикла, включающего игнимбриты (внутри- и внекальдерные [4, 7]) и туфы риолитового состава, произошло 219–184 тыс. лет назад.

Институт геологии рудных месторождений, петрографии, минералогии и геохимии Российской Академии наук, Москва
Московский государственный университет им. М.В. Ломоносова

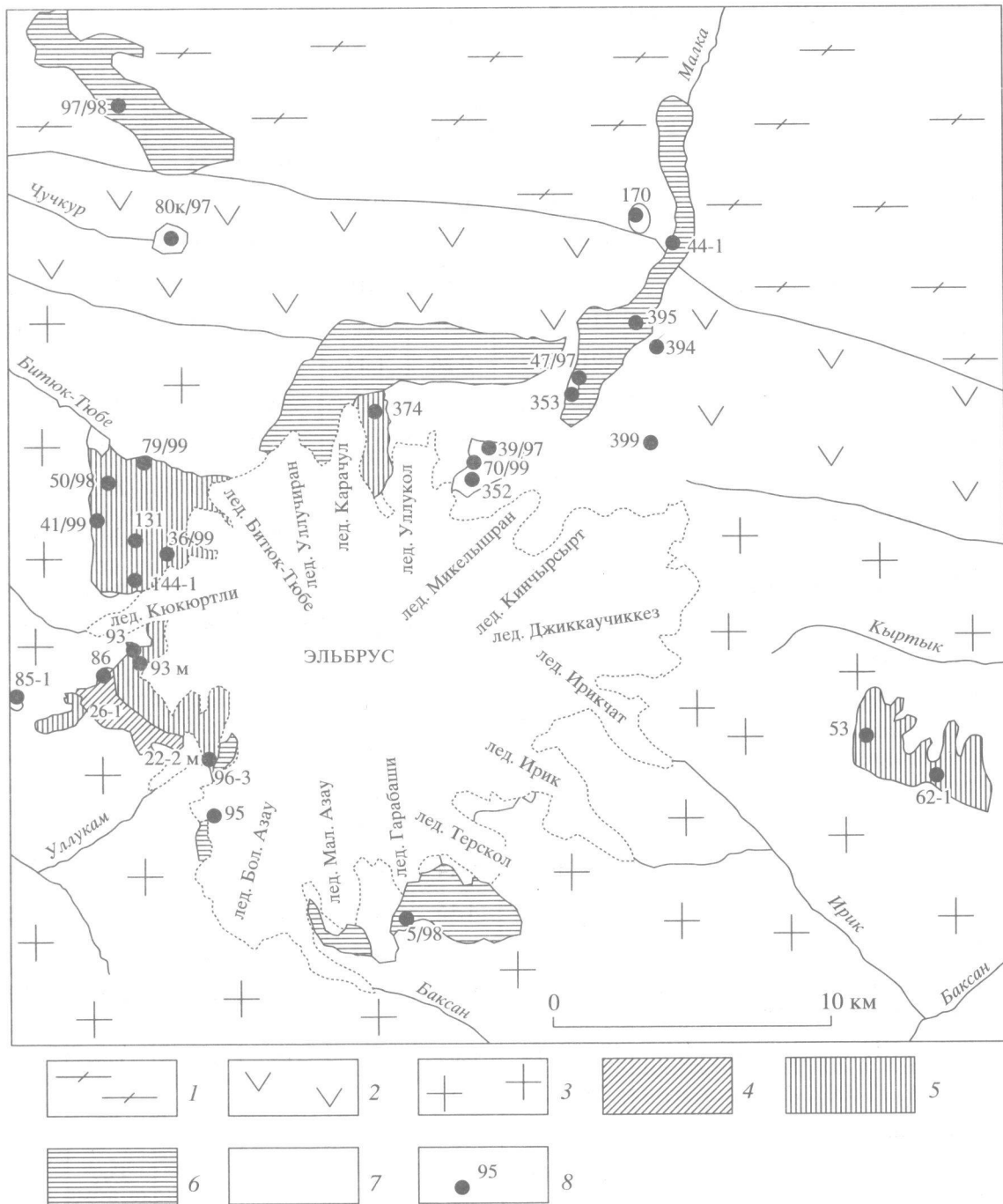


Рис. 1. Схематическая геологическая карта с местами отбора проб для ЭПР-датирования. 1–3 – структурно-формационные зоны: 1 – Бечасынская, 2 – Передового хребта, 3 – Главного хребта; 4–7 – вулканиты: 4 – раннего цикла, 5 – кальдерного этапа, 6, 7 – посткальдерных циклов (6 – неоплейстоценового, 7 – голоценового); 8 – места отбора проб и их номера.

Однако по игнимбритам, лавам и туфам риолитового состава, залегающим в основании разрезов вулкана в истоках рек Уллукам, Кюкюртли, получены величины порядка 89–87 тыс. лет, которые, по геологическим данным, являются омоложенными за счет термального воздействия на эти породы экструзивных тел позднего этапа этого

цикла. Поздний этап кальдерного цикла представлен агломератовыми лавами, лавовыми потоками и экструзивными телами (с возрастом в диапазоне 56–45 тыс. лет) дацитового состава, залегающими в низах разрезов западной части стратовулкана Эльбрус, и ими же сложена Сылтранская вулканическая постройка, формирова-

Таблица 1. Результаты ЭПР-датирования породообразующего кварца из вулканических пород Эльбруса

Проба	Код	Палеодоза, Гр	Кварц		Порода			Возраст, тыс. лет
			U, ppm	Th, ppm	U, ppm	Th, ppm	K, %	
80к/97	Игнимбрит, КР	1042 ± 197	0.27	0.76	5.4	23	3.05	197.6 ± 16
170		1256 ± 8	0.23	0.93	5.5	35.5	2.81	210 ± 42
70/99		1095 ± 203	0.19	1.21	5.4	26.5	3.24	193 ± 37.5
352		1127 ± 18	0.46	0.19	4.1	23.2	3.23	218 ± 13.7
39/97		1196 ± 112	0.4	1.7	6.0	25.9	3.51	196.6 ± 13
353		1210 ± 17	0.26	1.47	4.4	24.2	3.46	219 ± 13.7
26-1	Риолит, КРР	467 ± 52	0.44	0.68	5.9	17.9	3.24	89.5 ± 11.3
86		442 ± 6	0.24	0.26	4.2	22.8	3.17	87.4 ± 5.5
85-1 некк		1204 ± 14	0.49	7.42	3.6	23.7	3.21	210.8 ± 13
47/97	Туф риолитового состава с розовым кварцем, КРР	1002 ± 656	0.3	0.9	5.6	23.0	3.19	184 ± 41.1
36/99	Дацит, КП (верх разреза)	233 ± 10	0.24	0.78	4.3	22.1	2.80	48.8 ± 3.6
79/99		163 ± 3	0.15	0.09	3.0	21.1	2.09	43.0 ± 2.6
78/99	Дацит, КП (серед. разр.)	237 ± 1	0.08	0.09	2.4	18.1	3.07	56.3 ± 3.7
80/99	Дацит, КП (низ разреза)	306 ± 1	0.01	0.14	2.8	21.8	2.43	76.0 ± 4.7
40/99		356 ± 6	0.28	1.04	3.5	23.5	2.63	77.2 ± 4.8
22-2м		386 ± 17	0.28	0.89	4.5	19.8	2.80	82.5 ± 6.1
374		393 ± 7	0.09	0.28	3.6	21.0	2.82	87.8 ± 5.6
144-1	Дацит, КП (серед. разр.)	335 ± 4	0.14	0.26	4.3	30.6	3.31	58.8 ± 3.7
53	Дацит Сылтрансу, КП	728 ± 128	1.15	4.58	3.2	22.3	2.99	136.5 ± 25
62-1		728 ± 4	0.81	4.67	4.1	20.6	2.99	137.4 ± 8.3
50/98	Туф дацитового состава с серым кварцем КП (низ разр.)	443 ± 37	0.1	0.2	4.2	29.5	2.90	84.3 ± 5.7
131	То же, КП (серед. разр.)	322 ± 0.3	0.05	0.24	5.9	28.3	3.08	56.9 ± 3.4
32		269 ± 3	0.37	0.87	3.6	21.2	2.81	58.1 ± 3.6
93	Субвулканнич. тело, СКП	226 ± 4	0.31	1.97	3.5	23.1	2.92	46.2 ± 2.9
93М1		279 ± 18	0.4	2.1	3.5	23.1	2.92	47.0 ± 4.5
96-3		203 ± 4	0.42	0.66	4.0	19.8	2.71	44.8 ± 2.8
95	Дацит, ПКП	228 ± 0.5	0.05	0.36	3.7	24.2	2.68	49.4 ± 3.0
395		214 ± 0.2	0	0.21	4.1	21.7	2.99	45.3 ± 2.8
44-1					7.3	24.1	3.0	43.4 ± 9.3
97/98	Анdezидацит Таш-Тебе, ПКП	230 ± 4	0.1	0.5	6.1	21.4	2.9	39.0 ± 5.0
399	Дацит, р. Малка, ПКГ	57 ± 4	0.24	0.9	3.8	24.6	3.24	6.7 ± 0.7

Примечание. Возраст проб 93М1 и 399 получен методом добавочных доз, а остальных проб – методом регенерации. КР – кальдерные ранние игнимбриты; КРР – кальдерные ранние риолиты и туфы с розовым кварцем; КП – кальдерные позднего этапа – лавы, лавобрекции дацитового состава и туфы с серым кварцем; СКП – субвулканическое тело – кальдерные поздние субвулканические дациты (штоки и дайки); ПКП – посткальдерные лавы, лавобрекции дацитового состава позднеоплейстоценового возраста; ПКГ – посткальдерные лавы, лавобрекции дацитового состава голоценового возраста. Сокращения: разр – разреза, серед. разр. – середина разреза.

ние разреза которой произошло 137–136 тыс. лет назад. Последние датировки, скорее всего, и отражают истинный возраст слагающих ее пород, а типичные разрезы позднего этапа кальдерного цикла, наблюдаемые в истоках рек Уллукам, Кюкюртли, Бийтик-Тебе, были омоложены за счет термального воздействия на эти лавовые потоки экструзивных тел. Так, для нижних частей этих разрезов получены значения (в тыс. лет), варьирующие в пределах 85–72; для средних частей разреза – 56–59 и для верхних – 46–48. Следует отметить, что две последние группы значений близки к значениям возраста экструзивных тел.

Ранний этап (поздненеоплейстоценовый) посткальдерного цикла характеризуется излиянием лав дацитового состава, перекрывающих верхнеплейстоценовые гляциальные отложения и в свою очередь перекрывающихся поздне-верхнеплейстоценовыми гляциальными отложениями. На этом этапе излияния лав происходили: 49 тыс. лет назад (проба 95, истоки р. Уллукам); 45–49 тыс. лет назад (пробы 395 и 356 м, истоки р. Малки); 39 тыс. лет назад (проба 97/98) активизировался маленький вулкан Таш-Тебе и 23 тыс. лет назад сформировался нижний лавовый поток (проба 5/98) над поляной Азау в верховьях р. Баксан. Следы еще одного эксплозивного извержения, в виде пеплового горизонта с ^{14}C -возрастом 22 тыс. лет, обнаружены нами у станицы Темижбекской в высокой террасе р. Кубани [7]. Поздний этап (голоценовый) посткальдерного цикла представлен широко развитыми глыбовыми лавовыми потоками дацитового состава и ими же сложены кратерные вершины Эльбруса. По лавовым потокам этого этапа пока получено одно (проба 399, верховья р. Малки) значение 6.7 ± 0.7 тыс. лет. Нижним возрастным пределом цикла является последняя фаза позднеплейстоценового оледенения, в элементы экзарационного рельефа которой вложены ранние голоценовые лавовые потоки.

Часть ЭПР-датировок лавовых потоков и туфовых горизонтов раннего и позднего этапов кальдерного и посткальдерного циклов также могла быть омоложенной из-за термального воздействия ($\sim 100^\circ\text{C}$), при непосредственном излиянии на нижележащие потоки более молодой порции магмы с температурами до 1100 – 1170°C [12]. Реальность такого предположения подтверждается ЭПР-датировкой некка риолитового состава (210 тыс. лет, проба № 85-1, р. Уллукам), прорывающего палеозойские граниты и являющегося возможным подводящим каналом для эродированного риолитового лавового потока.

Достоверность ЭПР-датировок подтверждена другими независимыми методами. Так, по нижнему лавовому потоку (проба 5/98), обнажающемуся над поляной Азау, получена величина 23 ± 2 тыс. лет,

хорошо согласующаяся с оценкой его возраста по соотношению с датированной 22–24 тыс. лет [14] мореной, сохранившейся под потоком. В другом случае наблюдается хорошее совпадение датировок времени извержения вулкана Таш-Тебе методом ЭПР (проба 97/98 – 39 ± 5 тыс. лет) и ^{14}C -методом (проба ГИН-11586а – 33.2 ± 0.7 тыс. лет) по углём из почвенного горизонта, залегающего под потоком.

В результате проведенных исследований доказана возможность использования метода ЭПР для датирования вулканических образований по по-родаобразующему кварцу из вулканитов, из находящихся в них ксенолитов и по кварцу из подстилающих их древних метаморфических пород. Подтверждена также правомерность выделенных нами, по геологическим данным, циклов и этапов активности ЭВЦ и определены их временные интервалы. По данным ЭПР-датирования резко омолодилось (середина среднего неоплейстоцена – 220–200 тыс. лет назад и по голоцен включительно) по сравнению с данными К-Аг- и геоморфологического методов, полученными предыдущими исследователями [1–3, 5, 6, 8, 9], время начала активности вулкана Эльбрус и, соответственно, сократилась ее продолжительность.

Представленный перечень извержений в течение ранних и поздних этапов кальдерного и посткальдерного циклов является далеко не полным, и последующие ЭПР-датировки могут его уточнить и расширить.

Авторы выражают благодарность проф. Р. Грюну за любезно предоставленную нам программу расчета ЭПР-возраста кварца.

Работа выполнена при финансовой поддержке Американского фонда CRDF (проект RG1 – 2239), РФФИ (гранты 01-05-65393, 01-07-90176; регионального гранта 0-05-96035), Министерства промышленности, науки и технологий РФ в рамках контракта 801-2(00)-П и лаборатории “Геодинамики” Кабардино-Балкарского государственного университета и программы “Университеты России”.

СПИСОК ЛИТЕРАТУРЫ

1. *Масуренков Ю.П.* Кайнозойский вулканализм Эльбруссской вулканической области. Тр. ИГЕМ. М.: Изд-во АН СССР. 1961. В. 51. 132 с.
2. *Милановский Е.Е., Короновский Н.В.* Геологическое строение и история формирования вулкана Эльбрус. Материалы по геологии и металлогении Центрального и Западного Кавказа. Тр. ВАГТ. М.: Госгеолтехиздат, 1960. В. 6. С. 92–127.
3. *Короновский Н.В.* Геологическое строение и история развития вулкана Эльбрус. Оледенение Эльбруса. М.: Изд-во МГУ, 1968. С. 15–72.

4. Короновский Н.В., Рудаков Л.М. // Изв. вузов. Геология и разведка. 1962. № 8.
5. Богатиков О.А., Мелекесцев И.В., Гурбанов А.Г. и др. // ДАН. 1998. Т. 363. № 4. С. 515–517.
6. Станкевич Е.К. Новейший магматизм Большого Кавказа. Л.: Недра, 1976. 232 с.
7. Чернышёв И.В., Лебедев В.А., Бубнов С.Н. и др. //ДАН. 2001. Т. 380. № 3. С. 384–389.
8. Борсук А.М. Мезозойские и кайнозойские магматические формации Большого Кавказа. М.: Наука, 1979. 299 с.
9. Богатиков О.А., Мелекесцев И.В., Гурбанов А.Г. и др. // Вулканология и сейсмология. 2001. № 2. С. 3–17.
10. Ikeya M. New Applications of Electron Spin Resonance. Dating, Dosimetry and Microscopy. Singapore; New Jersey; L.; Hong Kong; Bangalore: World Sci., 1993. 500 p.
11. Grun R. // Quat. Intern. 1989. V. 1. P. 65–109.
12. Толстых М.Л., Наумов В.Б., Гурбанов А.Г. и др. // Геохимия. 2001. № 4. С. 441–448.
13. Концентрационные измерения электронно-дырочных центров в кварце методом ЭПР. М.: М-во геологии СССР, 1986. 23 с.
14. Щербакова Е.М. Древнее оледенение Большого Кавказа. М.: Изд-во МГУ, 1973. 271 с.